

熊本大学 正会員 崎元達郎

〃 〃 山尾敏孝

〃 〃 学生員 〇 榎本秀明 北野雅徳

1) まえがき; 実際のアーチ系橋梁は、複弦アーチをトラスやラーメンで補剛したもので形成されている。このような構造物においては、主部材の溶接集成による残留応力や製作不整による面外初期たわみの存在や補剛材の剛度の影響を含めて、橋梁を三次元的な全体構造として面外耐荷力を評価するのが合理的である。本報告は、複弦アーチに風荷重や地震荷重等の水平横力が加わった状態の耐荷力について、溶接箱型断面を有する2-ヒンジ放物線アーチ供試体を用いて、弾塑性面外耐荷力の実験を行ない、その性状について述べたものである。

2) 実験概要; 使用鋼材(SS-4H)についての引

表-1 材料の機械的性質

張試験(JIS-5号)と本実験と同一断面寸法を持つ供試体についての残留応力の測定値と補正した修正分布をそれぞれ表-1、図-1に示す。

	板厚 (mm)	ヤング係数 (kg/cm ²)	降伏応力度 (kg/cm ²)	降伏ひずみ (%)	引張強度 (kg/cm ²)	伸び (%)
Mill Sheet	4.5	—	3600	—	4800	34.0
実測値	4.6	218 X 10	3639	2000	4498	32.1

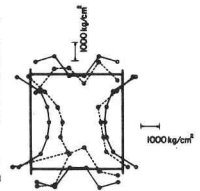


図-1 残留応力分布

修正分布の最大圧縮残留応力はウェブで0.27 σ_y 、フランジで0.010 σ_y となっている。供試体の横材の取付け方向と形状寸法、P、L、Xの抵抗形態を示す図を図-2に、設計断面寸法と形状寸法を図-3に示す。アーチリブの細長比は $b/y = 165$ とした。ここで供試体の横つなぎ材の曲げ剛性は、主桁の面外曲げ剛性の約40%である。

荷重は死荷重と活荷重として鉛直等分布荷重Vを、地震、風荷重として水平等分布荷重Hが作用する場合を想定し、載荷装置は支間8等分点に集中荷重を作用させる構造とする。水平方向の載荷装置を写真-1に、本実験に使用した供試体の形式及び実験結果を表-2に示す。

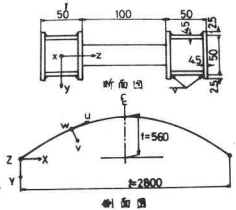
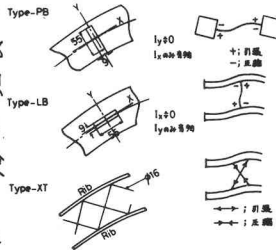


図-3 供試体寸法

3) 実験結果ならびに考察; 図-4にP型、L型の水平

横荷重一面外たわみ曲線を示す。V=30tでは、P型、図-2 つなぎ材寸法と抵抗形態、

L型とも線型を示すが、L型の直線の傾きがP型の直線の傾きより大きい。次に、V=40tではP型の方だけが非線型になってしまう。又、水平荷重が0 kgの時、鉛直荷重の増加につれてP型の面外変位は増すが、L型はほとんど変化がない。これらの事より、L型つなぎ材の方がP型よりアーチの横剛性の増大に効果があることが解る。表-2からも明らかのようにL型はP型より鉛直荷重が大さいにもかかわらず耐荷力も大きい。X型は理論的にはL型と同じ、もしくは、よ

表-2 供試体の形式及び実験結果

供試体呼称の 番号	載荷形式	つなぎ材の 形式及び本数	最大初期 たわみ	崩壊 形式	鉛直 荷重(t)	水平最大 荷重(kg)
P-0	単 軸方向活載 水平方向活載	—	1/1212	1 面外	20	400
P-1	複	7-PB 	(北)/1637 (南)/659	1 面外	40	3500
P-2	〃	7-LB 	(北)/743 (南)/550	1 面外	50	3600
P-3	〃	7-XT XXXXXX	(北)/273 (南)/621	1 面外	50	2200*

)この事がアーチ全体

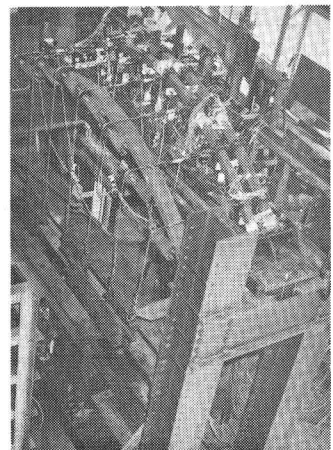


写真-1 載荷装置

* Webの屈曲発生

と12の崩壊を早めたと思われる。表-2の最終荷重は、小さい。以下、P-1 (P型つなぎ材)の性状について述べる。図-5に面外変位モード、図-6にクラウンの面外変位、面外曲げひずみ、西支点南リブの面外曲げひずみと荷重との関係を示す。変位モードはH=2000kgからH=3500kgに増加する間に西支点付近が急激に折れ曲がった事を示している。これは、図-6に示すように、面外変位の増加に伴って、クラウンの面外曲げひずみはあまり変化しないのに比べ、支点部の面外曲げひずみはH=20t付近から急激に増大していることからわかる。また、伏試体P-2 (



写真-2

L型つなぎ材)の面外変位モードにも同様の傾向があらわれた。このことより、支点及び橋門付近が曲げにより危険になると考えられるので、実橋の設計においては十分注意を要すると考えられる。図-7は、クラウンと端部の横つなぎ材の x 軸、 y 軸まわりの曲げモーメント図である。端部のつなぎ材では、 y 軸まわりの曲げモーメントが x 軸まわりの曲げモーメントより大きい。しかし、クラウンではほとんど差はなく、値も小さい。よって、 $2/8$ 〜 $2/4$ 点付近では、 y 軸まわりの曲げに抵抗する横つなぎ材を用いた方が効果がある。図-8は最終つり合い状態、 $V=40t$ 、 $H=3500kg$ におけるひずみの断面内分布と軸方向分布から算定した塑性領域の分布図である。面内力による軸力と、水平横力による面外曲げにより両リブの支点部の x Web及びクラウン部の $-z$ Webに圧縮による降伏域が見られる。西支点北リブの $-z$ Webが引張による塑性化を生じているのは、面外曲げによる引張の影響である。以上に述べた事から、この種のアーチにおいては、L型(又は、X型)のつなぎ材が面外耐荷力に効果がある。また、補剛が全支間にわたってなされない場合は、アーチリブの脚部や橋門付近に、通常の設

計には考慮されない過大な付加応力が発生するので、特に注意を要する事が明らかになった。

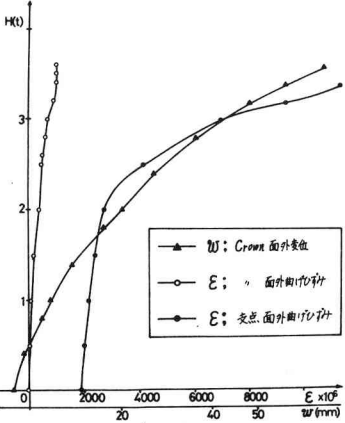


図-5 荷重-変位、荷重-ひずみ曲線

計には考慮されない過大な付加応力が発生するので、特に注意を要する事が明らかになった。

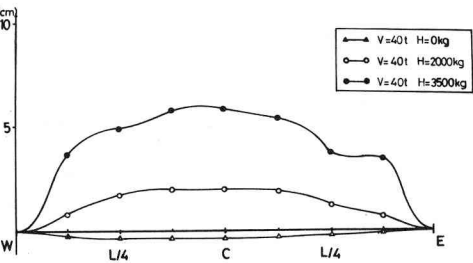


図-6 面外変位モード

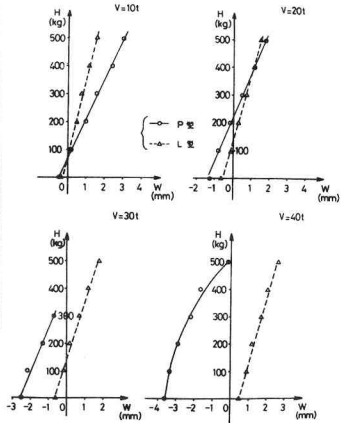


図-4 荷重-面外たわみ曲線

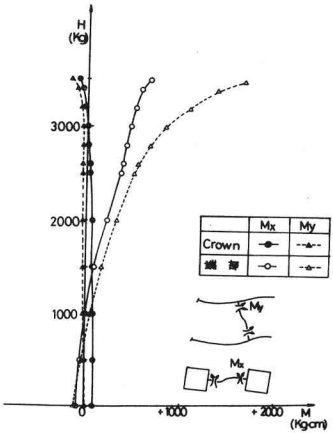


図-7 荷重-曲げモーメント曲線

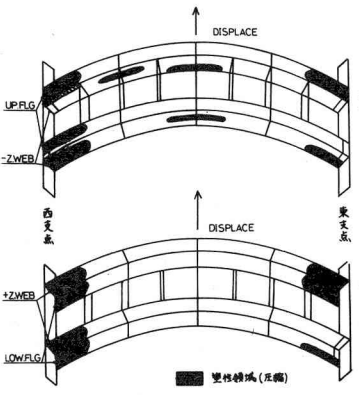


図-8 塑性領域分布図

参考文献

小松, 崎元, 山尾 「鋼アーチの耐荷力に関する実験的研究」才引回年次学術講演概要集 昭和51年10月